

# طرح و محاسبه دقیق تیرهای سراسری بتنی پیش‌تنیده با ارتفاع متغیر

نوشته

مسعود طلیسچی

M. S. G. از انستیتو تکنولوژیک ایلنوی

مسئول بررسی پروژه‌های راه‌های فرعی وزارت راه

مقدمه :

در تهیه این مقاله فرض شده است که مهندسين از اساس محاسبات بين پيش‌تنیده و روش Column-Analogy در محاسبات استاتیکی اطلاع کامل داشته و از طرفی با کاربرد از طریقه هاردی کراس در تیرهای سرتاسری آشنا میباشند.

بتن پيش‌تنیده اساساً برای بدست آوردن صرفه‌جویی در هزینه ساختمان تیرهای باد هانه بزرگ میباشد. با شن و ماسه سبک‌وزنی که اخیراً در نقاط مختلف دنیا مخصوصاً آمریکا تهیه میشود و وزن بتن آن در ایالت‌های آمریکا بین ۱۹۲۰-۱۷۶۰ کیلوگرم بر مترمکعب تغییر میکند، امکان پوشش دهانه‌های بزرگ با این‌طریقه موجود میباشد.

تیرهای سرتاسری و علی‌الخصوص با لنگر اینرسی متغیر در بدست آوردن صرفه‌جویی کمک مؤثری مینماید بشکلی که برای بارهای سنگین و دهانه‌های بزرگ در ساختمان‌های مختلف اخیراً در بسیاری از موارد ارتیرهای بتن پيش‌تنیده مداوم با ارتفاع متغیر استفاده مینمایند.

تقسیم لنگرها بطریقه هاردی کراس طریقه ساده‌ای برای بدست آوردن تنش‌ها در مقاطع تیرهای مداوم میباشد. برای اینکار لازم است که لنگرهای گیرداری (F.E.M.) در هر مورد بارگزاری و برای مشخصات تیر مورد نظر بدست آید.

مشخصات تیر سرتاسری (Member Constants) از قبیل (Stiffness) و (Distribution Factors) برای تیرهای سرتاسری با لنگر اینرسی متغیر قبلاً محاسبه شده است و در این خصوص مثلاً مؤسسه سیمان پرتلند آمریکا جداول مفصلي دارد. منظور از این مقاله تهیه لنگرهای گیرداری برای نیروهای پيش‌تنیدگی بعلا

یکسره بودن کابل‌های پیش‌تنیدگی و مخصوصاً شکل نیم‌رخ طولی کابل می‌باشد و درحقیقت مکمل همان جدولها منتهی برای تیرهای پیش‌تنیده با کابل‌های یکسره می‌باشد.

علائم اختصاری :

$$A = \Sigma \int \frac{ds}{I}$$

a = Haunch length

$$B = \frac{I_r - I}{I_r}$$

c = Horizontal length of beam from mid span to start of haunch in symmetrical case, or from centroid of  $\frac{ds}{I}$  values to start of haunch in unsymmetrical case

$C_A$  = Carry-over factor from A to B of straight or haunched beam AB

$C_B$  = Carry-over factor from B to A of straight or haunched beam BA

d = Minimum beam depth

E = KL - g

$e_A$  = Eccentricity of the tendon from N.A. at support

$e_B$  = Eccentricity of the tendon from N.A. at support B, etc.

$e_K$  = Eccentricity of the tendon from N.A. at location of low point of cable

F = Prestressing force

f = Distance centroid of  $\frac{ds}{I}$  values to haunched end of beam (in unsymmetrical case)

g = Distance centroid of  $\frac{ds}{I}$  to straight end of beam (in unsymmetrical case)

I = Minimum moment of inertia of beam

$I_1$  = I at center of haunch

$I_r$  = I at maximum haunch depth

$$I_u = I \text{ at coordinate } u, \quad I_u = \frac{1}{1 - \frac{B_u^n}{a^n}}$$

$$I_y = \Sigma \int \frac{ds}{I} x^2$$

KL = Distance of cable low point from straight end of beam

$K_B$  = Stiffness factor at B

K = Moment at far end of beam BA or BC, due to unit rotation at B (far end fixed)

$L$  = Length of span for an unsymmetrical case or half span for a symmetrical beam

$md$  = Maximum haunch depth

$M_s$  = Static moment at any point  $x$  distance from centroid of  $\frac{ds}{I}$  values

$M_i$  = Statically indeterminate moment

$$M_y = \Sigma \int \frac{M_s}{I} ds x$$

N.A. = Neutral axis

$$n = \frac{\log \frac{r_1 - 1}{Br_1}}{\log . \circ}$$

$$r_1 = \frac{I_1}{I}$$

$$r_2 = \frac{I_2}{I}$$

$s$  = Any horizontal coordinate along beam axis

$x$  = Horizontal coordinate distance from centroid of  $\frac{ds}{I}$  values

$y$  = Vertical coordinate distance tendon centroid profile from N.A.

$y'$  = Vertical distance N.A. of haunch from N.A. of straight segment

$y_B$  = Distance N.A. from bottom fiber

$y_T$  = Distance N.A. from top fiber

$z$  = Horizontal coordinate measured from left support (unsymmetrical case)

$u$  = Horizontal coordinate measured from start of haunch

$w$  = Load intensity as force per unit length due to tendon curvature

$$W = \Sigma \int \frac{M_s ds}{I}$$

F.E.M. = Fixed End Moment

$f_{tp}$  = Permissible tension in the concrete

$f_{cp}$  = Permissible compression in the concrete

$f_s$  = Allowable tendon stress

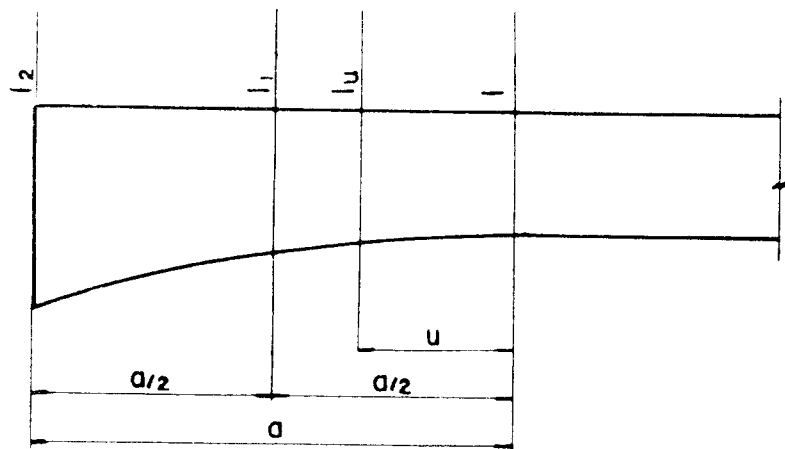
$F_0$  = Initial prestress force

$$Z_B = \frac{I}{Y_B}$$

$$Z_T = \frac{I}{Y_T}$$

$A_c$  = Cross sectional area of concrete

توضیح - تیر با ارتفاع متغیر معمولاً با شکل ذیل ساخته میشود که ممکن است تغییر ارتفاع خطی بوده و یا بشکل سهمی باشد.



شکل ۱ - تیر با ارتفاع متغیر

این نوع تیرها در اصطلاح انگلیسی (Haunched) نامیده میشود. در این حالت لنگر اینرسی از یک ماکزیموم روی تکیه گاه بیک می نیموم در انتهای Haunch کاهش پیدا میکنند. فرمولهائی که ذیلاً محاسبه و ارائه میگردد برای همه نوع تیرهای متداول بشکل جعبه توخالی و یا (I) و شکلهای دیگر صحیح میباشد. برای استفاده از طریقه هاردی کراس در این مورد اشکال عمده در بدست آوردن لنگرهای گیرداری (F.E.M.) بعلت نیروهای حاصله از پیش تنیدگی میباشد. در این مقاله فرمولهائی برای لنگرهای گیرداری از طریق Column Analogy بدست آمده است. برای لنگرهای اینرسی تیر در مقاطع با ارتفاع متغیر از فرمولی که قبلاً بدست آمده و (\* Substitute I Curve) است استفاده میشود. فرمولهائی لنگرهای گیرداری (F.E.M.) را برای چهار حالت تیر قرینه با تغییر خطی و تیر قرینه با تغییر سهمی وار و تیر غیرمستقارن با تغییر خطی و سهمی وار بدست آورده ایم. در آخر این مقاله یک مثال عددی برای نشان دادن طرز کاربرد فرمولها داده شده است.

### لنگر اینرسی در تیرهای با ارتفاع متغیر :

در شکل ۱ لنگر اینرسی قسمتهای مختلفه تیر نموده شده است که بالنگر اینرسی حقیقی تفاوت اندکی

دارد .

\* رجوع شود به مرجع شماره ۱ فهرست مرجع های این مقاله

اگر  $I_u$  لنگر اینرسی در مقطع بفاصله  $U$  از نقطه ای که مقطع تیر ثابت است باشد و  $I_1$  و  $I_2$  لنگر اینرسی در ابتدا و انتهای Haunch باشد، فرض میکنیم که:

$$(1) \quad B = \frac{I_2 - I_1}{I_2}$$

در این صورت:

$$(2) \quad I_u = \frac{I}{1 - B \left(\frac{u}{a}\right)^n}$$

و با در نظر گرفتن شرایط حدی یعنی:

$$I = I_u \quad ' \quad u = 0 \quad \text{الف}$$

$$I_1 = I_u \quad ' \quad \frac{a}{2} = u \quad \text{ب}$$

$$I_2 = I_u \quad ' \quad a = u \quad \text{ج}$$

و توجه باینکه:

$$\frac{I_1}{I} = r_1$$

و

$$\frac{I_2}{I} = r_2$$

میباشد عدد  $B$  بشکل:

$$B = 1 - \frac{1}{r_2}$$

درمیآید و با استفاده از معادله (2) و این شرایط حدی نتیجه خواهیم گرفت:

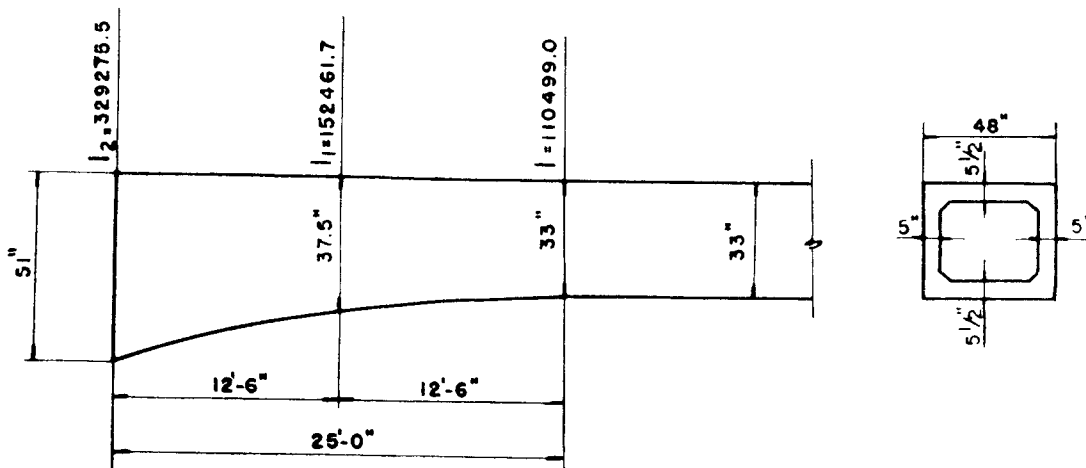
$$I_u(u=0) = \frac{I}{1 - \frac{I_2 - I_1}{I_2} \left(\frac{0}{a}\right)^n} = I$$

$$I_u(u=a) = \frac{I}{1 - \frac{I_2 - I_1}{I_2} \left(\frac{a}{a}\right)^n} = I_2$$

$$I_u(u=\frac{a}{2}) = \frac{I}{1 - \frac{I_2 - I_1}{I_2} \left(\frac{1}{2}\right)^n} = I_1$$

(2)

$$n = \frac{\log \frac{r_2(r_1 - 1)}{r_1(r_2 - 1)}}{\log \frac{1}{2}} = \frac{\log \frac{1 - \frac{1}{r_1}}{B}}{\log \frac{1}{2}}$$



شکل ۲- تیر با ارتفاع متغیر با مقطع جعبه‌ای

عدد  $I_u$  در هر مقطعی بستگی به عدد  $n$  و این عدد هم بستگی بشکل تیر دارد و Shape exponent

خوانده میشود.

مثلا برای تیر شکل (۲) :

$$\frac{1}{r_y} = \frac{I}{I_y} = \frac{110499}{329,270.0} = 0.336$$

$$B = \frac{I_y - I}{I_y} = 1 - \frac{1}{r_y} = 1 - 0.336 = 0.664$$

$$n = 1.273$$

منحنی لنگر اینرسی برای این تیر با ارتفاع متغیر در شکل ۳ نشان داده شده که با مقایسه با لنگر

اینرسی حقیقی تفاوت آن ناچیز و در حدود حداکثر ۰.۵٪ میباشد.

### معادلات لنگرهای گیرداری :

برای بدست آوردن معادلات لنگرهای گیرداری تیر را با نیروهای حاصله از پیش تنیدگی بارگزاری

کرده و بوسیله طریقه (Column Analogy) لنگرهای گیرداری را بدست میآوریم. در مرحله اول حالت تیر

قرینه با تغییر خطی را مورد توجه قرار میدهیم :

شکل های ۴ و ۵ و ۶ وضع تیر و وضع مرکز ثقل کابلها و پیش تنیدگی و نیروهای حاصله از وضع

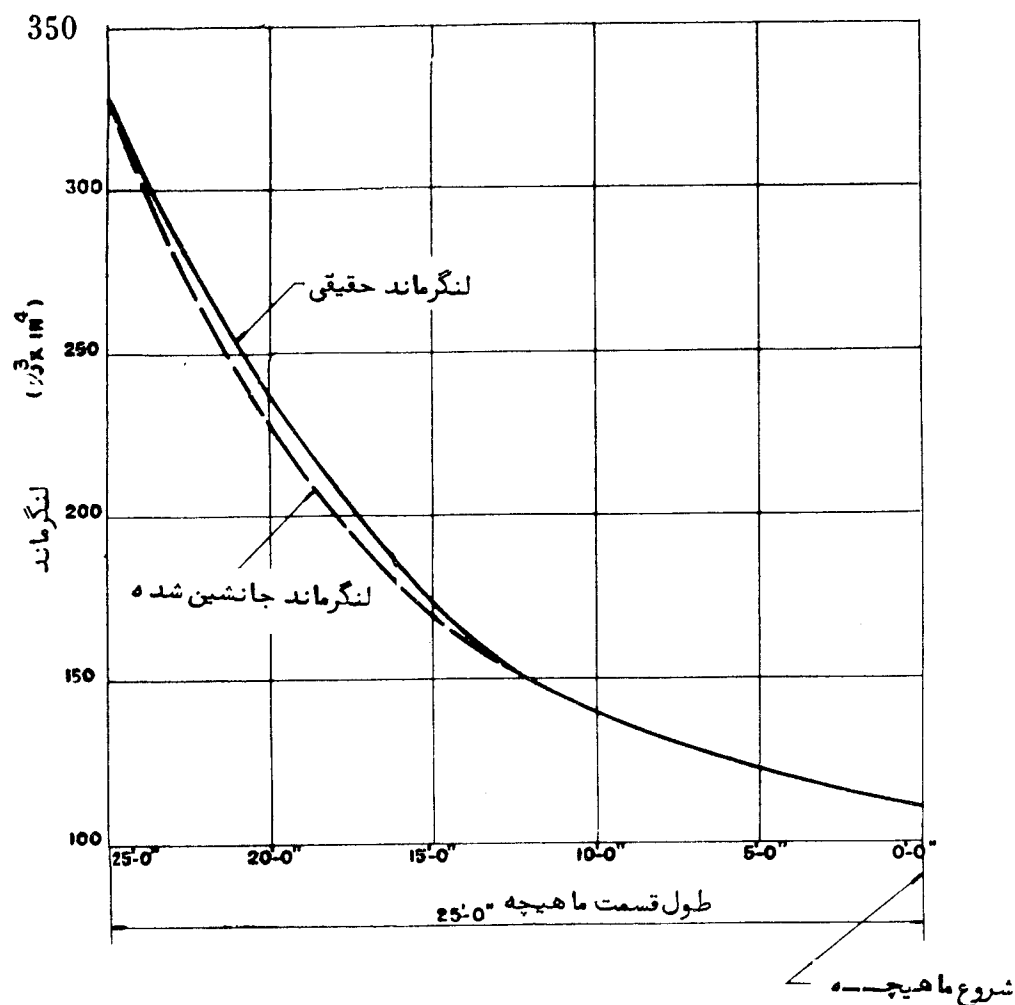
و شکل نیمرخ طولی کابل را نشان میدهد.

شدت بار در هر نقطه تیر تابعی است از نیروی پیش تنیدگی و مشتق دوم معادله منحنی کابل بصورت

زیر میباشد :

$$w = F \frac{d^2y}{dx^2}$$

در صورتیکه منحنی کابل سهمی باشد معادله منحنی با در نظر گرفتن خطوط مختصات نشان داده شده



شکل ۳- مقایسه لنگرماند حقیقی و لنگرماند جانشین شده

عبارتست از :

$$y = y' = \left[ \frac{rx^r}{L^r} - \frac{rx^r}{L^r} \right] \left( e_K + e_B - \frac{md}{r} \right) - e_K \quad \cdot < x < c$$

$$y = y' + \left( \frac{u}{a} \right) \left( \frac{md}{r} \right) = \left[ \frac{rx^r}{L^r} - \frac{rx^r}{L^r} \right] \left( e_K + e_B - \frac{md}{r} \right)$$

$$- e_K + \left( \frac{x-c}{a} \right) \left( \frac{md}{r} \right) \quad \cdot < x < L$$

$$\frac{d^2y}{dx^2} = \left[ \frac{r}{L^r} - \frac{rx^r}{L^r} \right] \left( e_K + e_B - \frac{md}{r} \right)$$

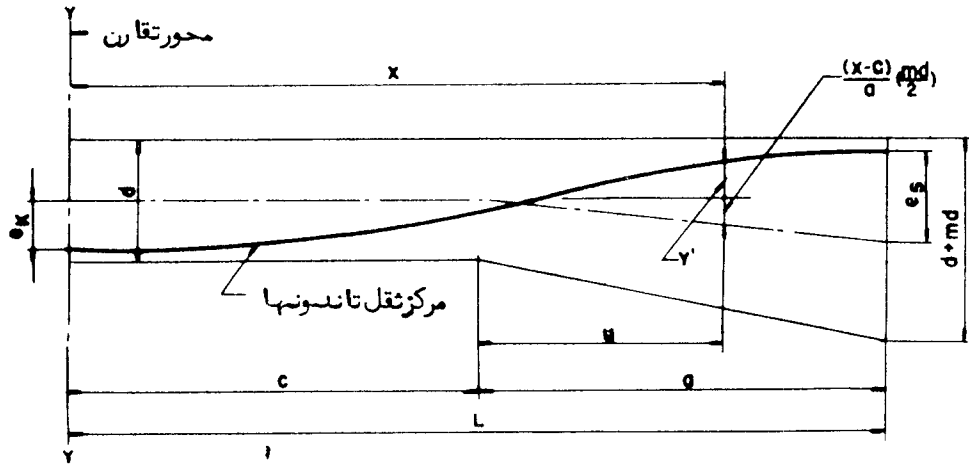
$$w = Fy'' = F \left( \frac{r}{L^r} - \frac{rx^r}{L^r} \right) \left( e_K + e_B - \frac{md}{r} \right)$$

ملاحظه میگردد که منحنی بارگذاری منحنی خطی است و برای  $X=L$  و  $X=0$  :

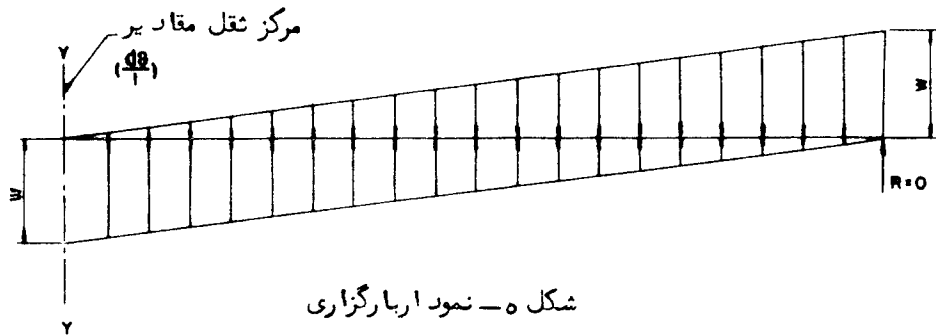
$$w = \frac{F}{L^2} (e_K + e_B - \frac{md}{2})$$

و با علامتهای متفاوت در دو انتها خواهد بود.

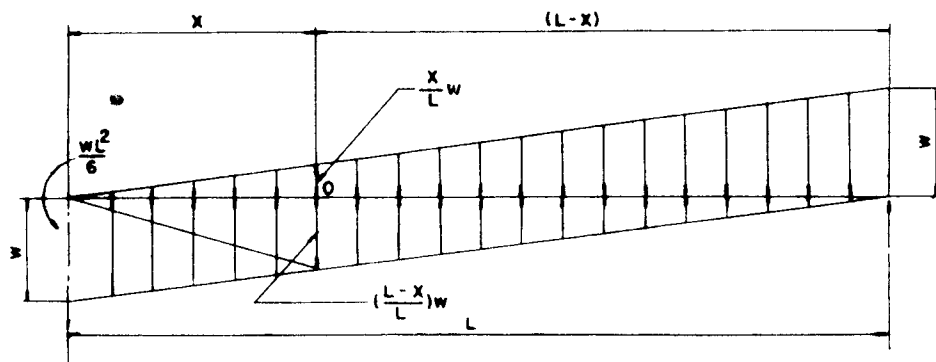
با قرار دادن این بار روی تیر و استفاده از طریقه Column Analogy لنگرهای گیرداری بدست خواهد آمد.



شکل ۴- تیرقرینه با ما هیجه خطی



شکل ۵- نمودار بارگزاری



شکل ۶- دیاگرام جسم آزاد



در هر مورد بجای  $I_u$  فورمول (۲) جایگزین خواهد شد.  
 تیر ایزواستاتیک در این مورد یک تیر ساده روی دو تکیه گاه فرض شده است.  
 فورمول Column Analogy بقرار زیر است :

$$(۵) \quad \text{F.E.M.} = M_s - (M_i)$$

$$M_i = \frac{W}{A} + \frac{M_y x}{I_y} + \frac{M_x y}{I_x}$$

زیرا بارها بطور قرینه و در مرکز ثقل تیر اثر میکنند.

برای بدست آوردن لنگر در انتهای تیر که در حقیقت لنگر گیرداری است لنگر تیر ساده در انتهای تیر را باید در فورمول (۵) جایگزین نمائیم که صفر است بنابراین و با قراردادن عددهای مربوطه از فورمول (۶) فورمول لنگر گیرداری بدست میآید.

چون نمودار لنگر خمشی بمیان تارستون نظیر اثر مینماید پس :

$$M_x = \frac{M_s y_{ds}}{I} = 0$$

بعلت تقارن :

$$M_y = 0$$

در انتهای تیر زیرا دستگاه مبنا واجد این شرط است :

$$M_s = 0$$

$$M = - \left( \frac{W}{A} \right)$$

$$A = \frac{rc}{I} + r \int_0^a \frac{du}{I_u}$$

$$I_u = \frac{I}{1 - B \left( \frac{u}{a} \right)^n}$$

$$\int_0^a \frac{du}{I_u} = \frac{1}{I} \left( a - \frac{Ba}{n+1} \right)$$

$$A = \frac{rc}{I} + \frac{r}{I} \left( a - \frac{Ba}{n+1} \right)$$

$$(۶) \quad A = \frac{r}{I} \frac{L(n+1) - aB}{(n+1)}$$

$$W = \Sigma \int \frac{M_s dx}{I_x}$$

$$\int_0^c \frac{M_s dx}{I} = \frac{1}{I} \left[ \frac{-wcL^r}{r} - \frac{wc^{\epsilon}}{rL} + \frac{wc^r}{r} \right]$$

$$\int_0^a \frac{M_s du}{I_u} = \frac{1}{I} \int_0^a (M_s) \left(1 - \frac{B}{a^n} u^n\right) du$$

$$(10) \quad F. E. M. = Fe_A + \frac{(n+1) \left( e_K + e_B - \frac{md}{r} \right) F}{rL^r [L(n+1) - Ba]} \left\{ \frac{n + \epsilon - \epsilon B}{(n+1)} a^{\epsilon} \right. \\ - \frac{(L-ra)[rB - r(n+r)]}{(n+r)} a^r \\ + \frac{(L-a)[rB - r(n+r)] a^r}{(n+r)} \\ - \frac{(rL-ra)[rB - r(n+1)]}{(n+1)} a^r \\ \left. + (L^{\epsilon} + a^{\epsilon} - ra^r L) \right\}$$

برای لنگرهای گیرداری در مورد تیرهای غیرقرینه با تغییر مقطع خطی عین عملیات فوق تکرار میشود  
 منتهی در مورد اخیر تیر ساده مربوطه بشکل تیر طره‌ای انتخاب میشود.  
 ذیلاً فورمولهای مربوطه بترتیب برای تیرهای غیرقرینه با تغییر ارتفاع خطی و تیرقرینه با تغییر  
 ارتفاع سهمی وار و تیر غیر متقارن با تغییر ارتفاع سهمی وار داده شده است.

$$(14) \quad A = \frac{L-a}{I} + \left( \frac{a}{I} \right) \left( \frac{n+1-B}{n+1} \right) = \frac{1}{I} \left[ \frac{L(n+1) - Ba}{n+1} \right]$$

$$(15) \quad I_y = \frac{1}{I} \left[ \frac{g^r}{r} + \frac{(f-a)^r}{r} + \frac{(n+r) - rB}{r(n+r)} a^r + \frac{(f-a)(n+r-rB)}{(n+r)} a^r \right. \\ \left. + \frac{(f-a)^r (-B+n+1)}{(n+1)} a \right]$$

$$(21) \quad M_s = \left[ \left( e_K + e_B - \frac{md}{r} \right) + \frac{e_K (rL - KL)}{KL} \right] F$$

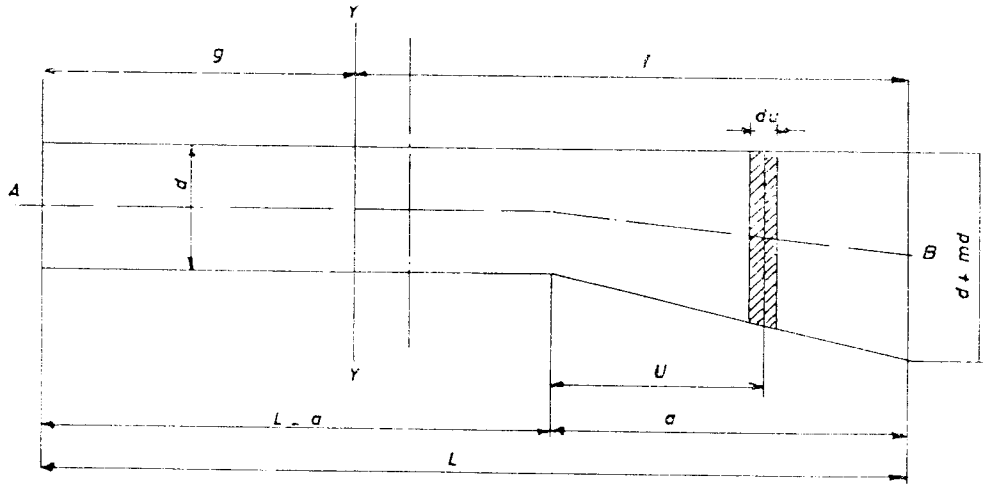
$$(22) \quad W = \frac{Fe_K}{rIKL} \left\{ (KL)^r + r(L-KL-a)(L-rKL-a) + \frac{r[(n+r) - rB]}{(n+r)} a^r \right. \\ \left. + \frac{r(B-n-1)(KL+ra-rL)}{(n+1)} a \right\} \\ + \frac{(e_K + e_B - \frac{md}{r}) F}{I(L-KL)^r} \left\{ \frac{1}{r} \left[ (KL-g)^{\epsilon} - (f-a)^{\epsilon} \right] \right\}$$

$$\begin{aligned}
& + \frac{(\tau \text{KL} - \tau g + \tau L)}{\tau} [(f-a)^r - (\text{KL} - g)^r] + (\text{KL} - g)(\tau g - \tau L)[(f-a)^r \\
& - (\text{KL} - g)^r] + (\tau g + \text{KL} - \tau L)(\text{KL} - g)^r [(\text{KL} - g) - (f-a)] \\
& + \frac{\tau B - (n+\tau)}{\tau(n+\tau)} a^\tau - [-\tau(f-a) + (\tau \text{KL} - \tau g + \tau L)] \frac{\tau B - (n+\tau)}{\tau(n+\tau)} a^\tau \\
& - [-\tau(f-a)^r + \tau(\tau \text{KL} - \tau g + \tau L)(f-a) \\
& + \tau(\text{KL} - g)(\tau g - \tau L)] \frac{\tau B - (n+\tau)}{\tau(n+\tau)} a^\tau - [-\tau(f-a)^r \\
& + (\tau \text{KL} - \tau g + \tau L)(f-a)^r + \tau(\text{KL} - g)(\tau g - \tau L)(f-a) \\
& - (\tau g + \text{KL} - \tau L)(\text{KL} - g)^r] \frac{B - (n+1)}{(n+1)} a \}
\end{aligned}$$

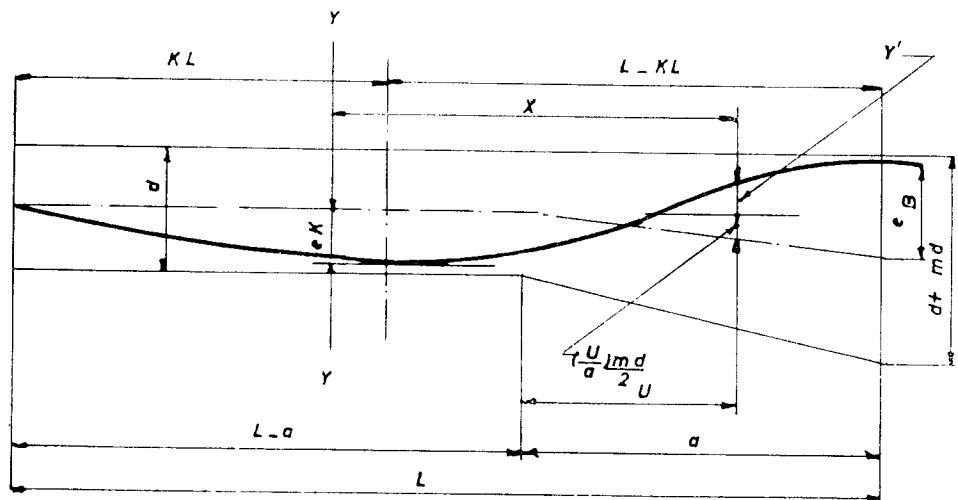
$$\begin{aligned}
(\tau\tau) \quad M_y &= \frac{F e_K}{(K^r L^r)(1+r)} \left\{ -g^\tau + (g^\tau + \tau K^\tau L^\tau - \tau g K^r L^r) \right. \\
& + \tau \tau \text{KL} \left[ \left( \frac{g}{\tau} - \frac{\text{KL}}{\tau} \right) (c^r - E^r) + \frac{1}{\tau} (c^r - E^r) \right] \\
& + \tau \tau \text{KL} \left[ \frac{(n+\tau) - \tau B}{\tau(n+\tau)} a^r \right. \\
& \left. \frac{(L - \tau a + f - \frac{\text{KL}}{\tau})(n+\tau - \tau B) a^r}{\tau(n+\tau)} \right. \\
& \left. + \frac{(-B + n+1)(L - a - \frac{\text{KL}}{\tau}) ca}{(n+1)} \right] \} \\
& + \frac{(e_K + e_B - \frac{md}{\tau}) F}{I(L - \text{KL})^\tau} \left\{ -\frac{\tau}{\tau} \left[ (f-a)^\tau - (\text{KL} - g)^\tau \right] \right. \\
& + \frac{(\tau \text{KL} - \tau g + \tau L)}{\tau} [(f-a)^\tau - (\text{KL} - g)^\tau] \\
& + \frac{\tau}{\tau} (\text{KL} - g)(\tau g - \tau L)[(f-a)^r - (\text{KL} - g)^r] \\
& - \frac{1}{\tau} (\tau g + \text{KL} - \tau L)(\text{KL} - g)^r [(f-a)^r - (\text{KL} - g)^r] \\
& + \frac{1 \cdot B - \tau(n+\tau)}{\tau(n+\tau)} a^\tau + [-\tau(f-a) + (\tau \text{KL} - \tau g + \tau L)] \frac{(n+\tau) - \tau B}{\tau(n+\tau)} a^\tau \\
& + [-\tau(f-a)^r + \tau(\tau \text{KL} - \tau g + \tau L)(f-a) \\
& + \tau(\text{KL} - g)(\tau g - \tau L)] \frac{(n+\tau) - \tau B}{\tau(n+\tau)} a^\tau + [-\tau(f-a)^r \\
& + \tau(f-a)^r(\tau \text{KL} - \tau g + \tau L) - (\tau g + \text{KL} - \tau L)(\text{KL} - g)^r
\end{aligned}$$

$$\begin{aligned}
 & + \epsilon (KL - g)(rg - rL)(f - a) \left[ \frac{n + r - rB}{r(n + r)} a^r + [-r(f - a)]^\epsilon \right. \\
 & + (f - a)^r (rKL - rg + rL) + r(KL - g)(rg - rL)(f - a)^r \\
 & \left. - (f - a)(KL - g)^r (rg + KL - rL) \right] \left( \frac{n + 1 - B}{n + 1} \right) a \}
 \end{aligned}$$

$$(r\epsilon) \quad W = \frac{Fmd}{rI} \left[ \frac{(a - rL)(n + r)(n + 1) + raB}{r(n + r)(n + 1)} \right]$$



شکل ۷ - تیرفرغرنه ماهیچه در یک سمت



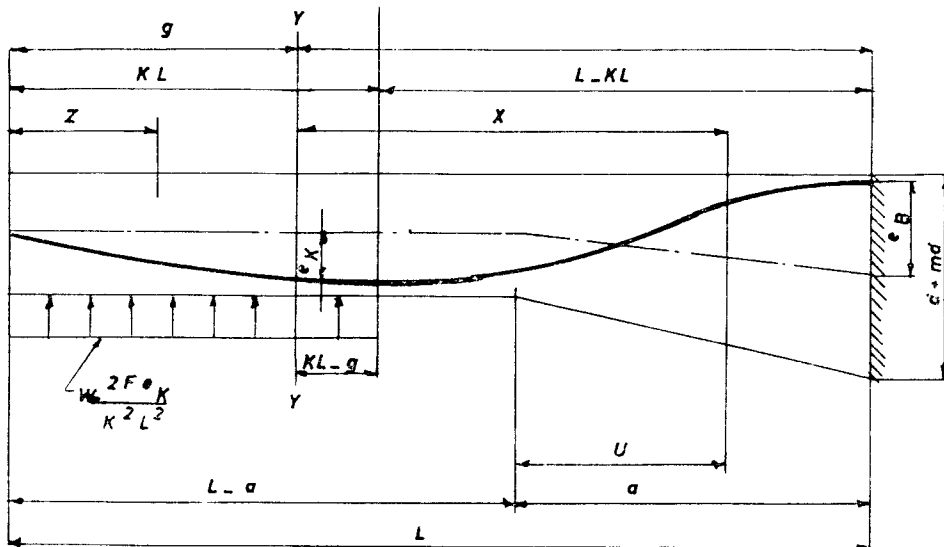
شکل ۸ - موثعبیت تاندون

$$F.E.M. = M_s - \left( \frac{W}{A} + \frac{M_y}{I_y} x \right)$$

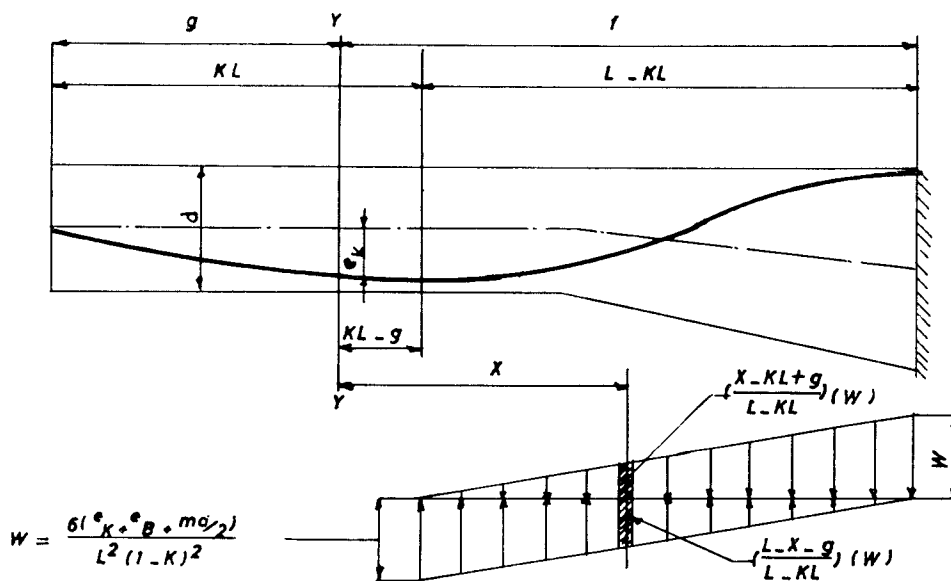
و برای انتهای چپ :

$$M_s = 0$$

$$(2v) \quad (e_K + e_B - \frac{md}{\gamma}) F + \frac{F e_K a^r}{K' L'} + \frac{F e_K (\gamma L - KL)}{KL}$$



شکل ۹ - بارگذاری قطعه چپ  
تیر فشرده با تابعی خطی

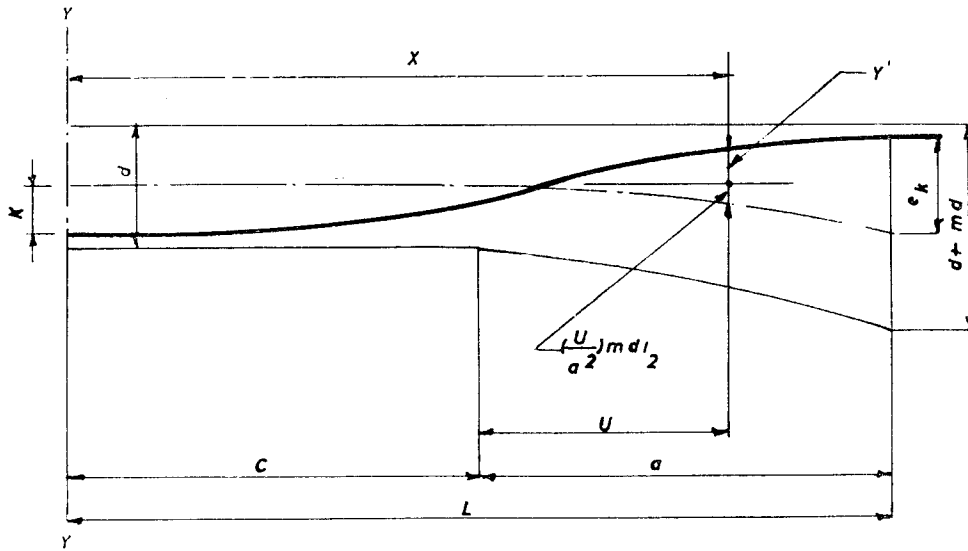


شکل ۱۰ - بارگذاری برای قطعه راست

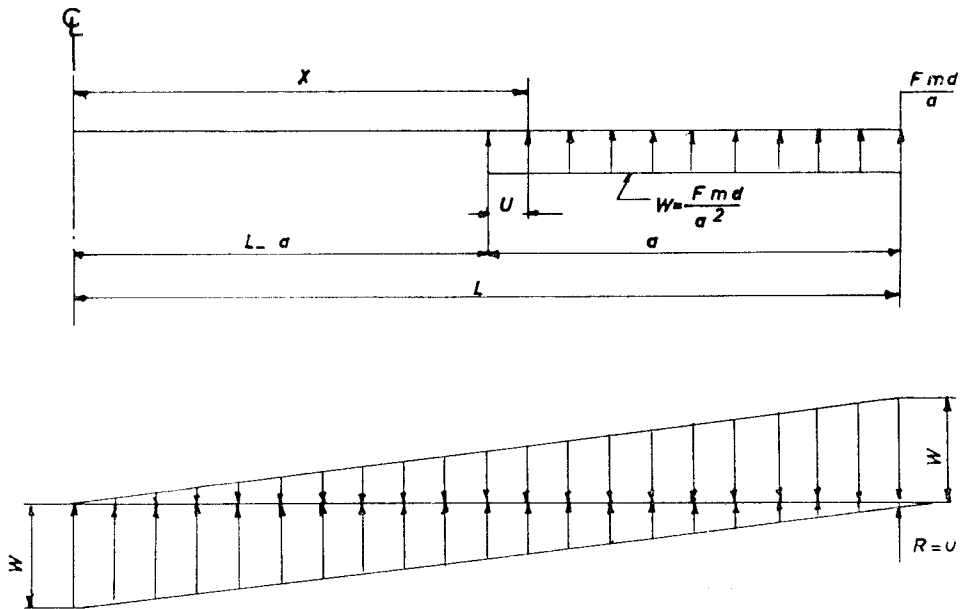
$$\begin{aligned}
(28) \quad W = & \frac{aFmd}{r(n+r)I} (n+r-rB) + \frac{Fe_K}{r(KL)I} [(KL)^r \\
& + r(L-KL-a)(L-rKL-a) \\
& + \frac{r(n+r-rB)a^r}{(n+r)} + \frac{r(B-n-1)(KL+ra-rL)a}{(n+1)} ] \\
& + \frac{(e_K + e_B - \frac{md}{r}) F}{I(L-KL)^r} \left\{ \frac{1}{r} (E^\xi - c^\xi) + \frac{(rKL-rg+rL)}{r} (c^r - E^r) \right. \\
& + (KL-g)(rg-rL)(c^r - E^r) \\
& + (rg+KL-rL)(KL-g)^r (E-c) + \frac{\xi B-n-\xi}{r(n+\xi)} a^\xi \\
& - [-rc + (rKL-rg+rL)] \frac{rB-n-r}{r(n+r)} a^r \\
& - [-rc^r + r(rKL-rg+rL)c + r(KL-g)(rg-rL)] \frac{rB-n-r}{r(n+r)} a^r \\
& - [-rc^r + (rKL-rg+rL)c^r + r(KL-g)(rg-rL)c \\
& \left. - (rg+rKL-rL)(KL-g)^r] \frac{B-n-1}{(n+1)} a \right\}
\end{aligned}$$

$$\begin{aligned}
(29) \quad M_y = & \frac{aFmd}{rI} \left[ \frac{n+\xi-\xi B}{\xi(n+\xi)} a + \frac{c(n+r-rB)}{r(n+r)} \right] \\
& + \frac{Fe_K}{rIK^rL^r} \left\{ rK^\xi L^\xi - \xi gK^r L^r \right. \\
& + r\xi KL \left[ \left( \frac{g}{r} - \frac{KL}{\xi} \right) (c^r - E^r) + \frac{1}{r} (c^r - E^r) + \frac{n+r-rB}{r(n+r)} a^r \right. \\
& \left. + \frac{(L-ra+f - \frac{KL}{r})(n+r-rB)}{r(n+r)} a^r \right. \\
& \left. \left. + \frac{(-B+n+1)(L-a - \frac{KL}{r})ca}{(n+1)} \right] \right\} \\
& + \frac{(e_K + e_B - \frac{md}{r}) F}{I(L-KL)^r} \left\{ \frac{-r(c^\circ - E^\circ)}{\bullet} + \frac{(rKL-rg+rL)}{\xi} (c^\xi - E^\xi) \right. \\
& + \frac{r}{r} (KL-g)(rg-rL)(c^r - E^r) \\
& \left. - \frac{1}{r} (rg+KL-rL)(KL-g)^r (c^r - E^r) + \frac{1 \cdot B-r(n+\bullet)}{\bullet(n+\bullet)} a^\bullet \right\}
\end{aligned}$$

$$\begin{aligned}
& + [-\lambda c + (rKL - \gamma g + rL)] \frac{n + \epsilon - \epsilon B}{\epsilon(n + \epsilon)} a^\epsilon \\
& + [-\gamma c^r + r(rKL - \gamma g + rL)c \\
& + r(KL - g)(\gamma g - rL)] \frac{n + r - rB}{r(n + r)} a^r \\
& + [-\lambda c^r + r c^r (rKL - \gamma g + rL) - (\gamma g + KL - rL)(KL - g)^r
\end{aligned}$$

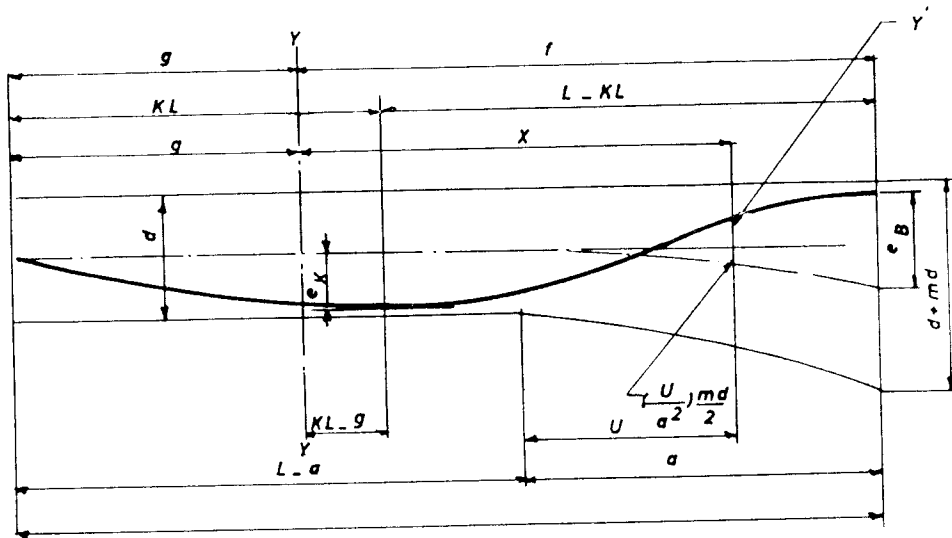


شکل ۱۱ - تیرزننه با ما هیجه سهی شکل

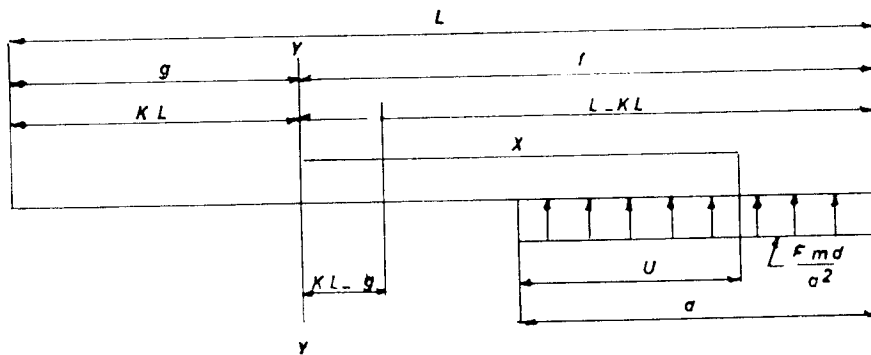


شکل ۱۲ - نمودار بارگزاری

$$\begin{aligned}
 & + \{ (KL-g)(rg-rL)c \} \frac{n+r-rB}{r(n+r)} a^r \\
 & + [ -rc^s + c^r(rKL-rg+rL) + r(KL-g)(rg-rL)c^r \\
 & - (f-a)(KL-g)^r(rg+KL-rL) ] \frac{n+1-B}{n+1} a \}
 \end{aligned}$$



شکل ۱۳ - تیر غیر نرینه با تاهیجه سهی شکل در یک طرف



شکل ۱۴ - نمودار بارگزاری

مقادیر ثابت تیر و لنگرهای گیرداری :

در اینجا فورمولهای (Stiffness) و (Carry-Over Factors) را برای تیرهای با ارتفاع متغیر



محاسبه مینمائیم .

در هر مورد بجای لنگر اینرسی در قسمت با ارتفاع متغیر از فورمول مربوطه استفاده میشود .  
در تقسیم لنگرها عدد (Stiffness Factor) به مقدار لنگر که در یک طرف تیر اثر کند و در آن چرخش واحدی تولید نماید بنحوی که طرف دیگر تیر گیردار فرض شود اطلاق میشود .  
این عمل بطرز ساده‌ای با اعمال بار واحد (چرخش واحد) در یک طرف تیر و بدست آوردن لنگر در همان طرف تیر انجام میشود .

با استفاده از طریق (Column Analogy) مقدار لنگر در همان طرف تیر مساوی است با :

$$(30) \quad K_A = \frac{1}{A} + \frac{M_y}{I_y} x_A$$

ولنگر در طرف مقابل مساویست با :

$$(31) \quad K = \frac{1}{A} + \frac{M_y}{I_y} x_B$$

و عدد Carry-Over Factor مساویست با :

$$(32) \quad C_A = \frac{K}{K_A}$$

با قرار دادن مقادیر مربوطه برای  $A$  و  $M_y$  و  $I_y$  و  $X$  مقادیر ثابت تیر بدست خواهد آمد .  
در مورد تیرهای قرینه با تغییر ارتفاع سهمی شکل و یا خطی فورمولهای Stiffness و -  
(Carry-Over Factor) یکسان میباشد .

گرچه مقدار  $n$  کمی برای دو حالت فوق متفاوت است .

در مورد تیرهای غیر قرینه با تغییر ارتفاع خطی و یا سهمی شکل (شکل ۱۶ و ۱۷ و ۱۸) ، برای بدست آوردن عددهای Stiffness و (Carry-Over Factor) در  $A$  و  $B$  مقادیر  $A$  و  $I_y$  را از معادلات ۱۴ و ۱۵ در معادلات ۳ و ۳۲ قرار میدهم . در این مورد :

$$X_A = (-g)$$

و

$$X_B = +f$$

یا  $f$  :

$$M_y = (-g)$$

بسته بآنکه مقدار Stiffness در نقطه  $A$  یا  $B$  مورد نظر باشد .

فورمولهای Stiffness اصلاح شده در انتهای  $B$  وقتی که انتهای  $(A)$  مفصلی باشد .

با استفاده از فورمولهای (Slope-Deflection) برای تیر با ارتفاع متغیر (Haunched)  $AB$  ، لنگرها در نقطه  $A$  و  $B$  بر حسب چرخش های نقاط  $A$  و  $B$  ( $\theta_A$  و  $\theta_B$ ) بشرح زیر است .

$$M_A = K_A \theta_A + K \theta_B = 0$$

$$M_B = K \theta_A + K_B \theta_B$$

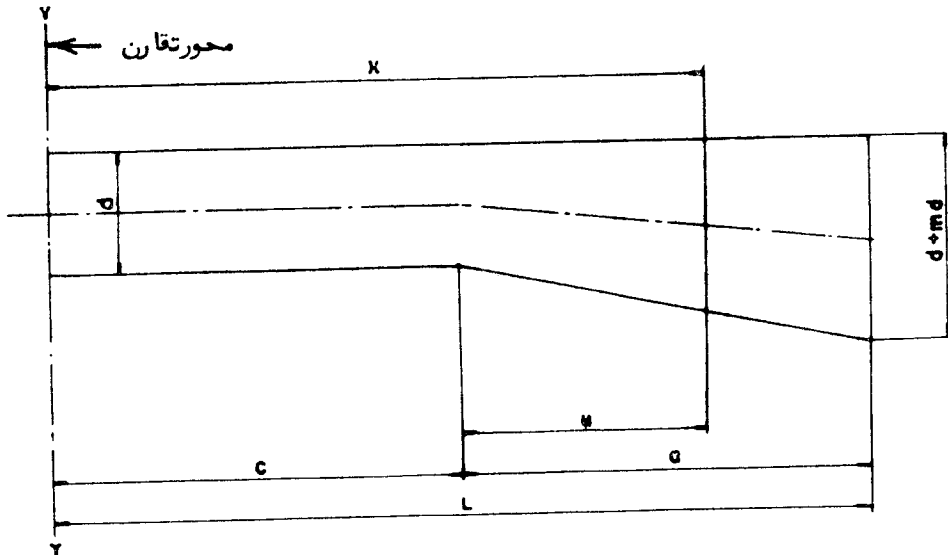
و چون :

$$K = C_A \quad K_A = C_B K_B$$

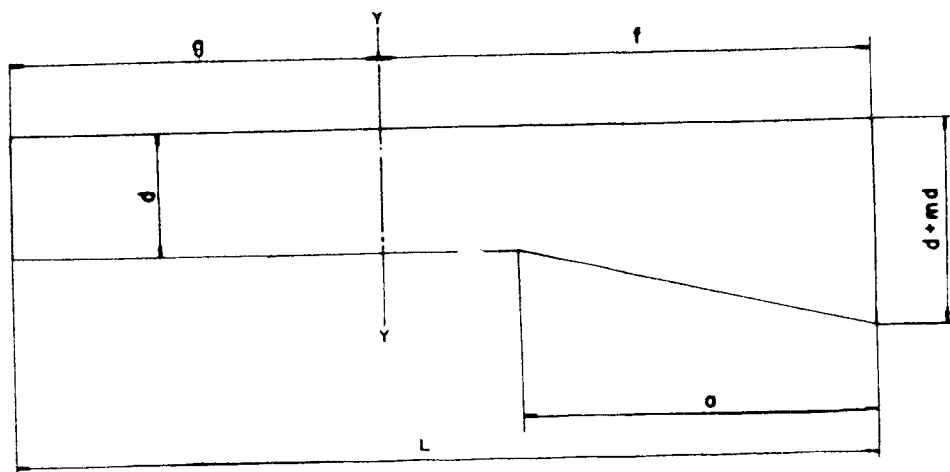
واگر بجای  $\theta_A$  از معادله :

$$M_A = 0$$

قرار دهیم مقدار Stiffness اصلاح شده در B مساوی است با :



شکل ۵ - تیرقرینه با ماهیچه خطی



شکل ۶ - تیرغیرقرینه با ماهیچه خطی در یکطرف

$$(۲۴) \quad \frac{M_B}{\theta_B} = \text{adjusted stiffness at B} = K_B(1 - C_A C_B)$$

تیرهای قرینه با ارتفاع متغیر خطی یا سهمی شکل - لنگرهای گیرداری برای بار یکنواخت :

با استفاده از طریقه Column Analogy یک تیر روی دو تکیه ساده با مقطع متغیر بعنوان (Static Structure) انتخاب میشود.

فرمولهای لنگرهای گیرداری بقرار ذیل میباشد :

$$\text{F.E.M.} = - \left( \frac{W}{A} \right)$$

که در آن A بوسیله فورمول (۶) داده شده (شکل ۱۷) :

$$M_s = wL(L-x) - \frac{w(L-x)^2}{2} = \frac{w}{2} (L^2 - x^2)$$

$$W = \int_0^c \frac{M_s dx}{I} + \int_0^a \frac{M_s du}{I_u}$$

با قرار دادن :

$$X = (c+u)$$

و انتگراسیون :

$$(۲۵) \quad W = \frac{w}{2I} \left[ (L^2 c - \frac{c^3}{3}) + \frac{2B-n-2}{2(n+2)} a^2 + \frac{2Bc-c(n+2)}{(n+2)} a^2 + \frac{(L^2 - c^2)(-B+n+1)}{(n+1)} a \right]$$

عدد  $M_s$  برای تکیه گاه طرف چپ و راست مساوی با صفر میباشد یعنی :

$$M_s = 0$$

تیرهای غیر متقارن با ارتفاع متغیر خطی یا سهمی شکل - لنگرهای گیرداری برای بار یکنواخت :

با مراجعه بشکل (۱۸) فورمول لنگر گیرداری بقرار ذیل میباشد :

$$\text{F.E.M.} = M_s - \left( \frac{W}{A} + \frac{M_y}{I_y} x \right)$$

مقادیر مربوطه A و  $I_y$  توسط فورمولهای (۱۴) و (۱۵) داده شده است :

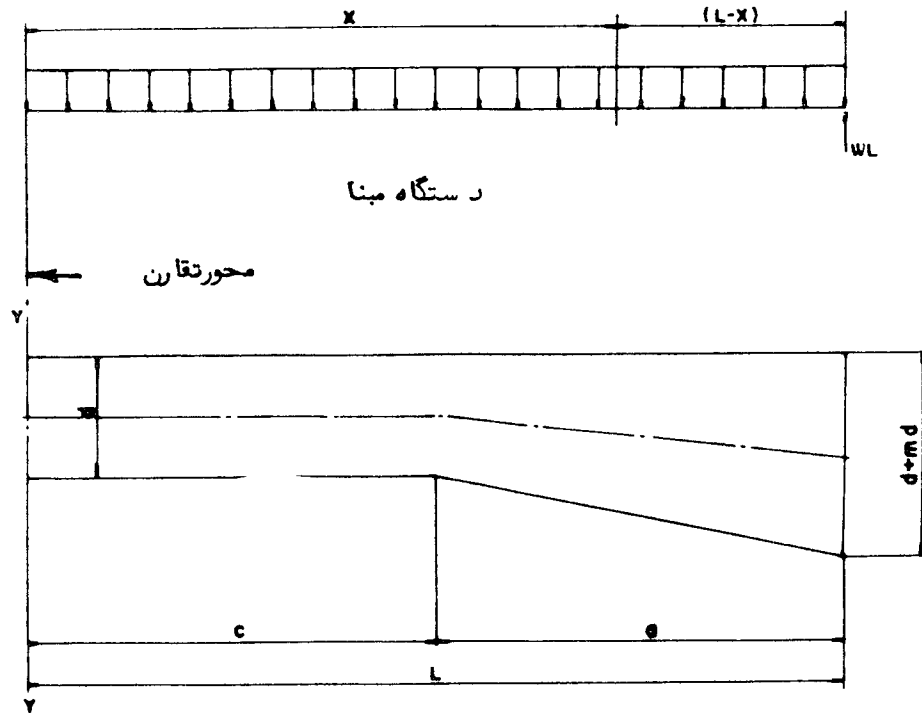
$$M_s = \frac{w(g-x)^2}{2} \quad (-g) < x < 0$$

$$M_s = \frac{w(g+x)^2}{2} \quad 0 < x < f$$

$$W = \int_0^g \frac{M_s dx}{I} + \int_0^c \frac{M_s dx}{I} + \int_0^a \frac{M_s du}{I_u}$$

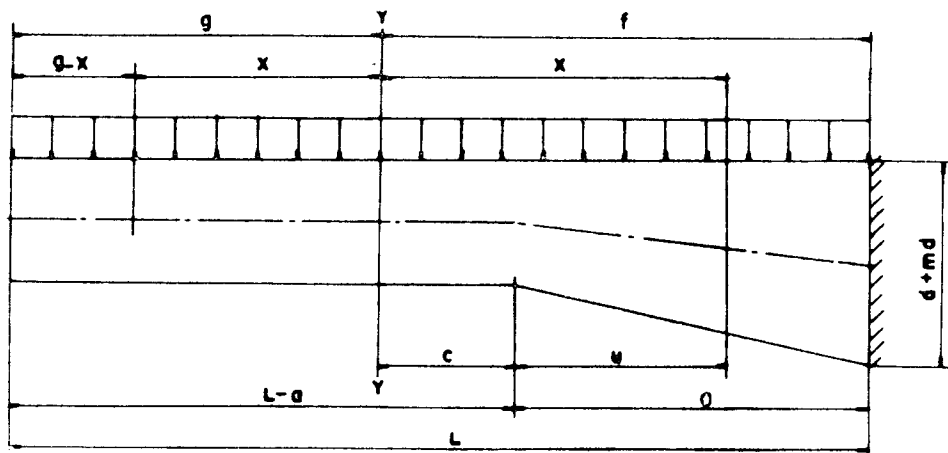
با قرار دادن:

$$X = c + u$$



شکل ۱۷ - بارگذاری یکنواخت

د رتیرقرینه باما هیچه خطی



شکل ۱۸ - بارگذاری یکنواخت د رتیرقرینه باما هیچه خطی د ریک طرف

$$(۳۶) \quad W = \frac{w}{rI} \left[ \frac{g^r}{r} + (g^r c + \frac{c^r}{r} + gc^r) + \frac{-rB+n+r}{r(n+r)} a^r \right. \\ \left. + \frac{(g+c)(-rB+n+r)}{(n+r)} a^r + \frac{(g+c)^r(n+1-B)}{(n+1)} a \right]$$

$$M_y = \int_0^g \frac{M_s(-x)dx}{I} + \int_0^c \frac{M_s x dx}{I} + \int_0^a \frac{M_s x du}{I_u}$$

$$(۳۷) \quad M_y = \frac{w}{rI} \left[ \frac{-g^\xi}{12} + \frac{g^r c^r}{r} + \frac{c^\xi}{\xi} + \frac{rgc^r}{r} + \frac{-\xi B+n+\xi}{\xi(n+\xi)} a^\xi \right. \\ \left. + \frac{(rc+r g)(-rB+n+r)}{r(n+r)} a^r + \frac{(rc^r + \xi gc + g^r)(-rB+n+r)}{r(n+r)} a^r \right. \\ \left. + \frac{(c^r + rgc^r + g^r c)(-B+n+1)}{(n+1)} a \right]$$

طرز استفاده از فرمولها :

این فرمولها طریقه دقیق بدست آوردن لنگر در تیرهای پیش تنیده سرتاسری و با ارتفاع متغیر میباشد مثال - در شکل (۱۹) و (۲۰) تیر سه دهانه سرتاسری پیش تنیده با تغییر ارتفاع سهمی شکل نشان داده شده که در مورد پلهای جاده متداول میباشد.

در محاسبه این تیر فرض شده است که چرخش روی تکیه گاهها آزادست و همچنین فرض شده است که کابل پیش تنیدگی در سرتاسر تیر ادامه دارد. ضمناً تمام ابعاد داده شده در دستگاه آحاد انگلیسی میباشد.

همانطوریکه از شکل پیداست مقطع تیر بشکل جعبه توخالی است. ارتفاع مقطع از "۳۱" به "۵۱" در تکیه گاه وسطی تغییر میکنند.

اولین قدم بدست آوردن مشخصات تیر در محل لنگر اینرسی ماکزیموم و در وسط (Haunch) است. ارتفاع تیر در مقطع بفاصله U مساویست با :

$$d + \frac{u^r}{a^r}(md)$$

بازای :

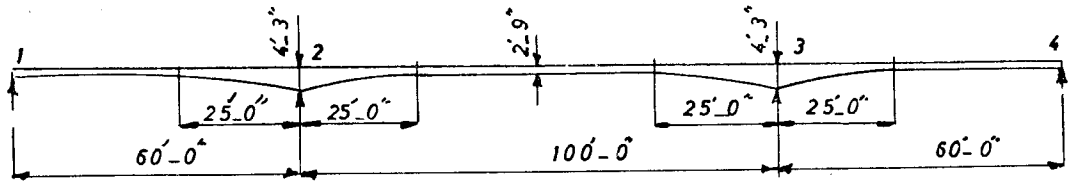
$$d = ۳۳"$$

$$u = \frac{a}{2} = ۱۲' - ۶" = ۱۵۰"$$

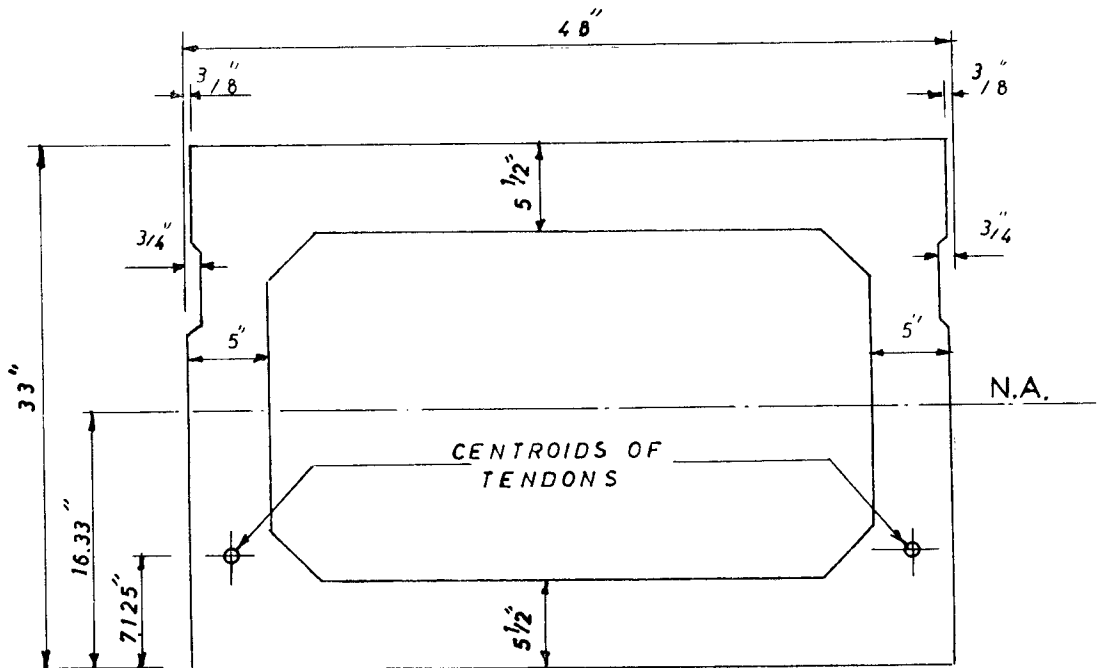
برای :

$$md = ۵۱ - ۳۳ = ۱۸"$$

$$h = ۳۳.۰ + ۴.۵ = ۳۷.۵"$$



شکل ۱۹ - تیر سراسری سه دهانه ای با ماهیچه سهمی شکل



شکل ۲۰ - مقطع تیر برای نسمتی از تیر

که بالنکرماند ثابت است .

جدول شماره ۱ - مشخصات مقطع

$h^*$	$A_c$	$I$	$y_B$	$y_T$	$Z_B$	$Z_T$	$\frac{Z_B}{A_c}$	$\frac{Z_T}{A_c}$
۳۳٫۰	۷۵۲٫۵	$I = 110499$	۱۶٫۳۳		۶۷۶۶٫۶	۶۶۲۵٫۶	۸٫۹۹	۸٫۸۰
۳۷٫۵	۷۹۷٫۵	$I_1 = 102462$	۱۸٫۵۰		۸۲۲۰٫۰	۸۰۴۰٫۰	۱۰٫۳۰	۱۰٫۰۷
۵۱٫۰	۹۳۲٫۵	$I_2 = 329275$	۲۵٫۲۳		۱۳۰۵۰٫۰	۱۲۷۸۰٫۰	۱۴٫۰۰	۱۳٫۷۵

\* تمام ابعاد برحسب اینچ یا توانهای اینچ میباشد

از روی فرمولهای (۱) و (۳) :

$$B = \frac{I_2 - I}{I_2} = 0.7664$$

$$n = \frac{\log\left(\frac{I_1 - I}{BI_1}\right)}{\log\left(\frac{1}{2}\right)} = 1.273$$

تنش‌های مجاز :

$$f_{ip} = 0$$

$$f_{cp} = 22.0 \text{ ksi}$$

$$f_s = 22.0 \text{ ksi}$$

نیروی پیش‌تنیدگی حداکثر بوسیله تنش مجاز کنترل می‌شود.

برای آنکه تنش کششی در تار پائین‌صفر بشود لازم است که حداکثر خروج از مرکز نیروی پیش

تنیدگی از حدود هسته مرکزی  $\frac{Z_B}{A_c}$  تجاوز ننماید (شکل ۲۲).

برای تار پائین :

$$\frac{F_o e}{Z_T} + \frac{F_o}{A} = 22.0 \text{ ksi}$$

و برای تار بالائی :

$$\frac{F_o e}{Z_B} = \frac{F_o}{A}$$

با ترکیب دو معادله فوق :

$$\frac{2F_o}{A} = 22.0 \text{ ksi}$$

$$F_o = A = 702.5 \text{ kips}$$

بدست می‌آید که مقطع کابل پیش‌تنیدگی :

$$\frac{702.5}{22.0} = 31.92 \text{ sq in}$$

۳۱.۹۲ اینچ مربع بدست می‌آید.

۴۴ کابل \* رابلینگ  $\frac{3}{8}$ " و مقطع ۱ ۳۵ اینچ مربع می‌دهد.

که با دو ردیف کابل در هر جان تیر و با در نظر گرفتن فواصل مناسب برای کابل فاصله حد اقل

مرکز ثقل کابلها از تار پائین ۷۱۲۵" بدست می‌آید.

\* Roebling stress relieved 3/8" strands

### دهانه وسطی :

اگر فاصله مرکز ثقل کابلها در روی تکیه گاههای وسطی بهمان اندازه "۷۱۲۰" از تار بالا انتخاب

بشود :

$$e_K = 16723 - 7120 = 9603"$$

$$e_A = e_B = 257766 - 7120 = 187646"$$

ولنگرهای گیرداری برای تیر پیش تنیده با در نظر گرفتن رقم های حاصله برای n و B برابر :

$$F.E.M. = Fe_A - \left(\frac{W}{A}\right)$$

است ، که در آن W و A در فورمولهای (۹) و (۲۶) و (۶) داده شده است .

$$W = (-127064)F$$

$$A = 8011$$

$$\frac{F.E.M.}{F} = \frac{187646}{12} - \left(\frac{127064}{8011}\right) = 15637 - 15868 = -231 \text{ (Ft)}$$

### دهانه های کناری :

فرض میکنیم :

$$KL = 28' - 0"$$

$$e_A = 0$$

$$e_B = 187646 \text{ in}$$

$$e_K = 9603 \text{ in}$$

با قراردادن مشخصات مربوطه تیر در قسمت ماهیچه (Haunch) که در صفحات قبل آمده است و

توجه به شکل (۱۹) داریم :

$$f = 26898'$$

$$g = 23102'$$

لنگرهای گیرداری در نقطه (۱) شکل ۱۹ مساویست با :

$$-\left(\frac{W}{A} - \frac{M_y}{I_y}g\right)$$

مقادیر W و A و  $M_y$  و  $I_y$  بوسیله معادلات (۲۸) و (۱۴) و (۲۹) و (۱۵) داده شده است:

$$W = 127293 F$$

$$A = 8887$$

$$I_y = 2004726$$

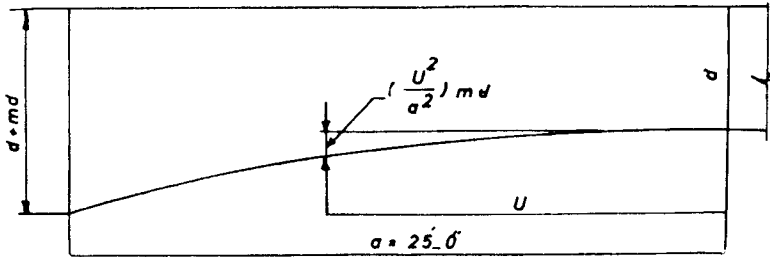
$$M_y = 192198 F$$



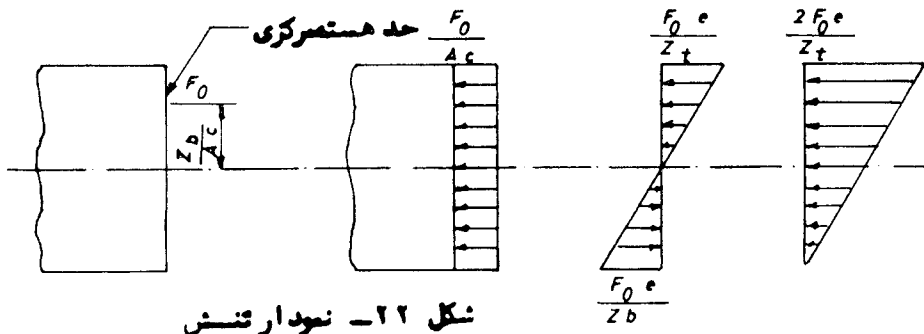
$$\frac{F.E.M. \text{ در } 1}{F} = - \left[ \frac{127293}{98887} - \frac{(1927198)(267898)}{2004260} \right]$$

$$= - (1243 - 27024)$$

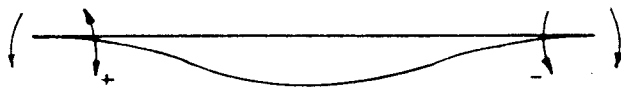
$$\frac{F.E.M. \text{ در } 1}{F} = +0.781 \text{ Ft.}$$



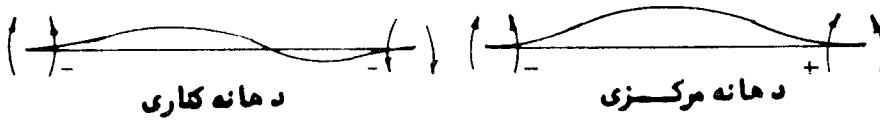
شکل ۲۱ - ماهیچه سهی شکل



شکل ۲۲ - نمودار تنش



حلانم فراردادی برای توزیع لنگرها



شکل ۲۳ - حلانم فراردادی

1	.816	2	(.706)	(.294)
			- .584	- .015
- .781			+ .481	
+ .781			+ .083	+ .035
0			- .0211	+ .0211

شکل ۲۴ - توزیع لنگر برای بارهای بهش تبدکی

و لنگر گیرداری در نقطه (۲) مساویست با :

$$M_s = \left( \frac{W}{A} + \frac{M_y}{I_y} f \right) - F e_B$$

لنگر تیر ایزواستاتیک مربوطه در نقطه (۲) بوسیله فورمول (۲۷) داده شده است .

$$M_s = 470.3 F$$

و بدینوسیله لنگر گیرداری در نقطه (۲) بدست میآید :

$$\frac{F.E.M. \text{ در } 2}{F} = -0.084$$

علامت های منفی برای لنگر گیرداری ، از فرضیاتی که در موقیع بدست آوردن فورمولهای لنگر گیرداری شده بود بدست آمده است و نحوه معمولی علامت لنگرها برای تقسیم لنگرها در شکل (۲۳) نشان داده شده است .

برای دهانه وسطی کشش در تار بالائی مثبت فرض شده بود . بنابراین عدد ۰.۱۵ . نشان میدهد که کشش در تار پائین است .

برای دهانه های کناری کشش در تار پائین مثبت فرض شده بود بهمین دلیل ۰.۱۵۹۱ + نشان میدهد که کشش در تار پائین بوده و عدد ۰.۰۸۴ - نشان میدهد که کشش در تار بالا قرار دارد .

دهانه وسطی از تکیه گاه ۲ به تکیه گاه ۳ Stiffness , Carry-Over Factors

با استفاده از فورمول (۳۰) برای حالت قرینه عدد (Stiffness) برای تکیه گاه (۲) و برای تیر ۲-۳

بشرح زیر بدست میآید :

$$A = 167.23$$

$$I_y = 1063.0434$$

$$M_y = -(a+c) = -0.0$$

$$x = -0.0$$

$$\text{Stiffness } K_2 = \frac{1}{167.23} + \frac{(0.0)^2}{1063.0434} = 0.006 + 0.235 = 0.241$$

بعلت تقارن :

$$\frac{1}{2} K_2 = 0.1205$$

(چون هم بارگذاری وهم تیر قرینه است).

دهانه کناری - تکیه گاه شماره ۱ و ۲ :

معادلات (۳۰) تا (۳۲) در مورد تیرهای غیرمتقارن است .

$$K_{A1} = \frac{1}{A} + \frac{M_y}{I_y} x_A = \frac{1}{A} + \frac{g^r}{I_y}$$

$$K = \frac{1}{A} - \frac{gf}{I_y}$$

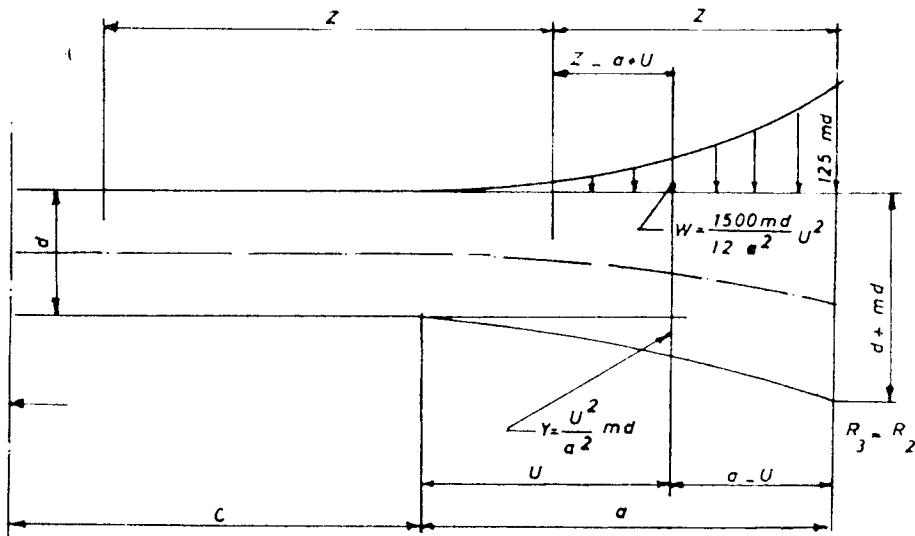
که مقادیر مربوطه :

$$C_1 = 0.616 \quad K = 0.227 \quad K_1 = 0.384$$

و (Carry-Over Factor) از تکیه گاه یک به تکیه گاه ۲ است.

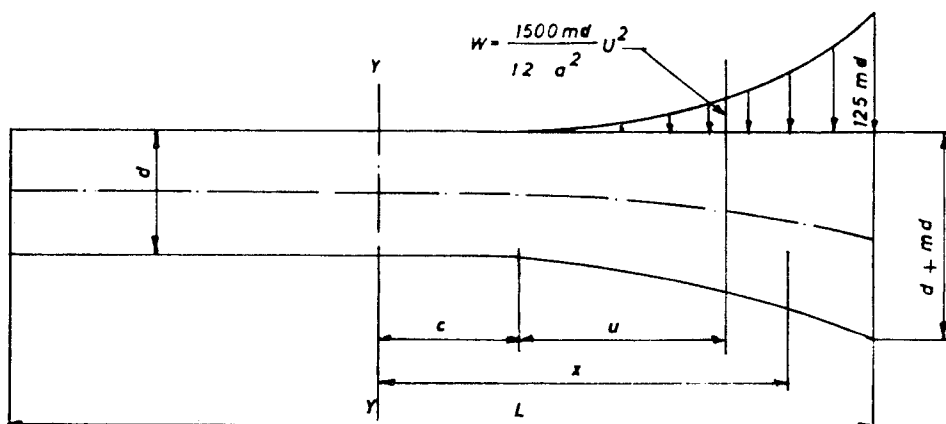
(Stiffness) در تکیه گاه ۲ برای قطعه ۲-۱ :

$$K_2 = 0.500 \quad K = 0.227$$



شکل ۲۵ - نمودار بارگذاری سهمی شکل ( ماهیچه ای )

در تیر نرسنه با ماهیچه سهمی شکل



شکل ۲۶ - نمودار بارگذاری ماهیچه ای در تیر غیر نرسنه

با ماهیچه سهمی شکل در یک طرف

$C_p = 0.47$  (Carry-Over Factor) از تکیه گاه ۲ به تکیه گاه ۱

(Stiffness) اصلاح شده برای تکیه گاه ۲ (چون تکیه گاه ۱ مفصلی است).

اگر عددهای بدست آمده در بالا را در معادله (۳۴) قرار دهیم (Stiffness) اصلاح شده در تکیه گاه

۲ مساوی است با (۰.۳۵۸). و شکل ۳۴ تقسیم لنگرها را برای لنگرهای گیرداری حاصله نشان میدهد.

همانطوریکه ملاحظه میشود در هر مورد عدد لنگر بر نیروی پیش تنیدگی تقسیم شده است که در نتیجه

مستقیماً خروج از مرکز حاصله بوسیله لنگرهای حاصله از شکل کابل پیش تنیدگی را بدست میدهد که در این

مورد مثلاً ۰.۲ است.

به لنگرهای گیرداری فوق و تنش های حاصله باید لنگرهای گیرداری مربوط به وزن مرده تیر نیز

اضافه شود که چون در این مورد مقطع تیر متغیر است بار وارد بصورت بار خطی و در مورد نیمرخ سهمی شکل

بار بشکل سهمی میباشد شکل های (۲۵) و (۲۶) عیناً با استفاده از طریقه (Column Analogy) حل میشود.

و در این مورد بذکر نتایج حاصله برای دهانه های وسطی و کناری اکتفا میگردد:

دهانه کناری:

$$At_1 = 208 \text{ Kip-Ft}$$

$$At_2 = 300 \text{ Kip-Ft}$$

دهانه وسطی:

$$716 \text{ Kip-Ft}$$

جدول تقسیم لنگرها ذیلا نشان داده میشود:

	$\xrightarrow{616}$	
۱	۲	
	(۰.۷۰۶)	(۰.۲۹۴)
+۲۰۸	-۳۰۵	+۷۱۶
-۲۰۸	-۱۲۸	
.	-۱۹۹	-۸۳
	-۶۳۳	+۶۳۳

شکل ۲۷ - توزیع لنگرها برای بار مرده

شکل (۲۸) نیمرخ طولی دقیق کابل پیش تنیدگی را که در حقیقت خط اثر نیروی اولیه است نشان

میدهد. در بالای شکل (۳۰) خط اثر نیرو که بر اثر لنگرهای مربوط به بار مرده (تقسیم بر نیروی پیش تنیدگی

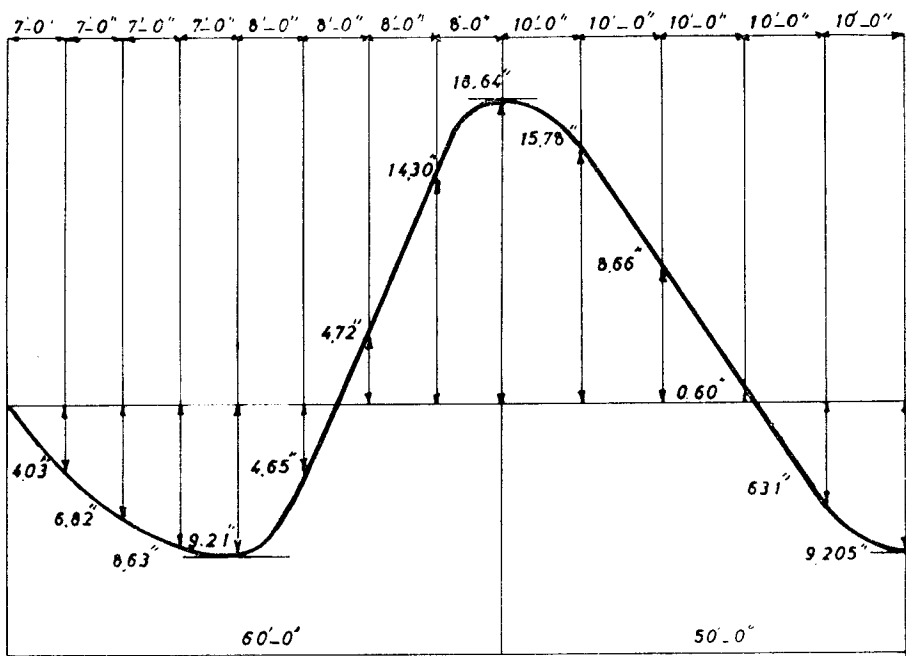
بدست آمده است نشان داده شده و در پائین آن نتیجه خط اثر نیروها بر اثر پیش تنیدگی و لنگرهای بار مرده

نشان داده شده است.

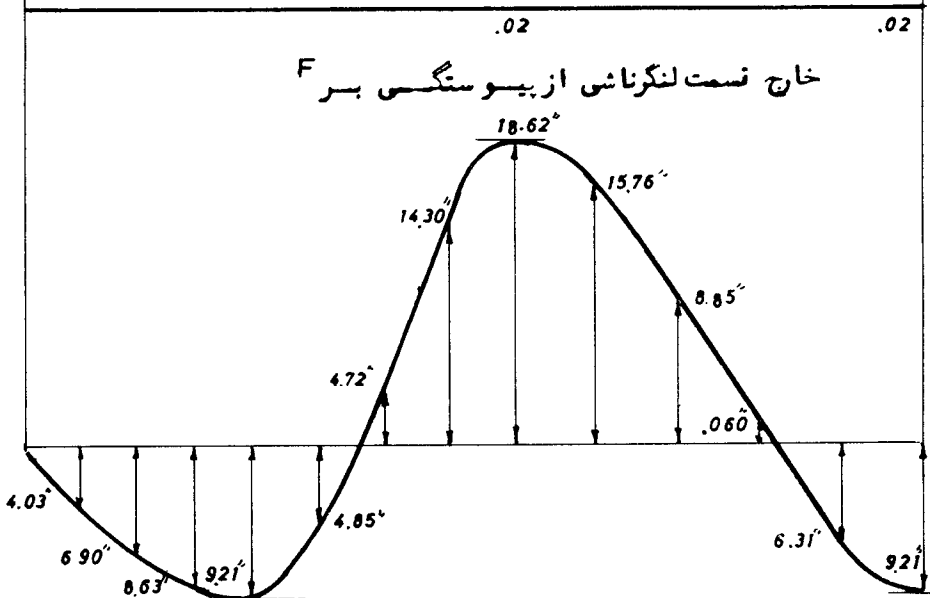
در این مثال بار زنده بحساب نیامده است. و در مورد تأثیر بار زنده طرز عمل عین آنچه که در مورد

بار مرده گفته شده، میباشد و تمام لنگرهای حاصله تقسیم بر نیروی پیش تنیدگی باعث تغییر خط اثر نیرو

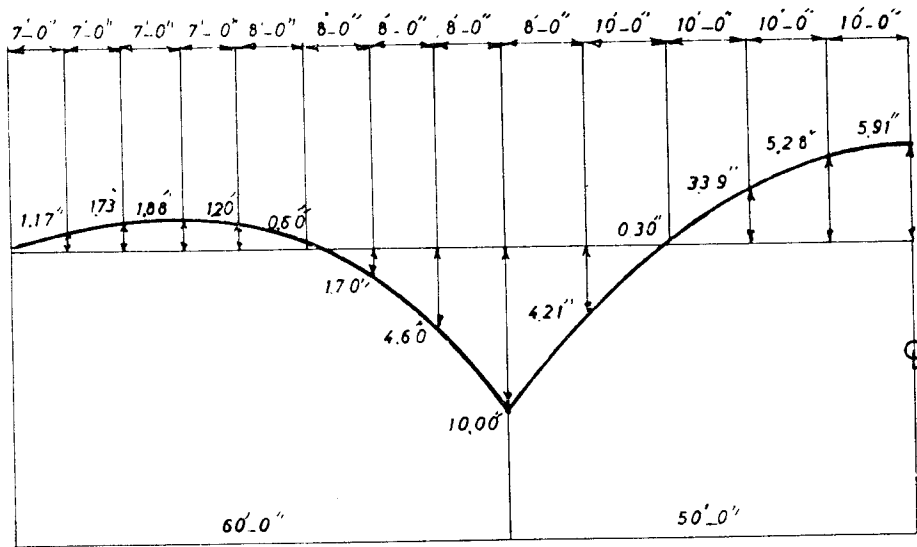
میشود.



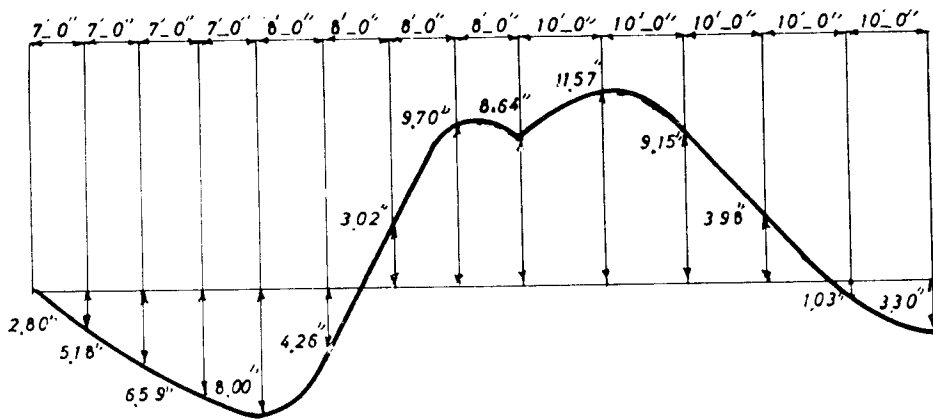
شکل ۲۸ - نیمخ طولی مرکز ثقل فولاد پیش تنیده



شکل ۲۹ - خط فشار ناشی از نیروی پیش تنیدگی



خط فشارناشی از لنگر بارمرد و تقسیم بر F



شکل ۳۰ - خط فشارنهائی از بارمرد و نیروی بیش تنیدگی

## منابع مورد استفاده

1. Weiskopf and Pickworth, *Tapered Structural Members*. Transactions of the American Society of Civil Engineers (Vol. 102, 1937), p.1.
2. T.Y. Lin, *Design of Prestressed Concrete Structures*. 2nd Ed. John Wiley and Sons, Inc. New York, 1963.
3. *Roebing Stress Relieved Strand*. Roebing Bulletin PC-945, The Roebing Company, 1959.
4. J.P. Donovan, *Analysis of Haunched Plate Girder Members*. Unpublished Master's Thesis, Illinois Institute of Technology, June 1958.
5. L.E. Grinter, *Theory of Modern Steel Structures*. Vol. II, The Macmillan Company, 1947, p. 266.
6. E. I. Fiessenheiser, *Rapib Design of Continuous Prestressed Concrete Members*. American Concrete Institute Journal, April, 1954.
7. M. Talischi, *Design of Continuous Prestressed Haunched Beams*. Master of Science Thesis, Illinois Institute of Technology, Chicago, Illinois, Jan. 1965.